



# MI

## Metody Identyfikacji

### wykład #4

1. *Wyznaczanie odpowiedzi częstotliwościowych dla sygnałów nieokresowych*

# Periodogram

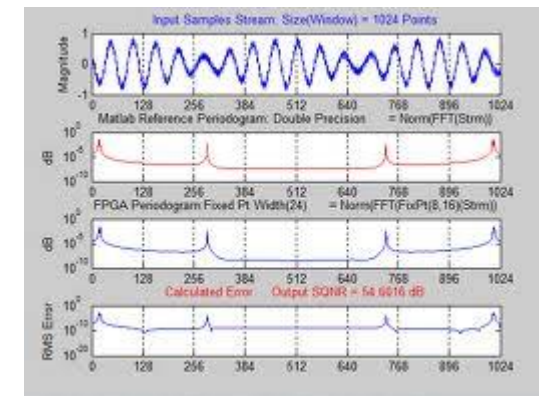
- Periodogram - rodzaj dyskretnej transformaty Fouriera. Pojęcia prawdopodobnie po raz pierwszy użył Arthur Schuster (1898), opierając się na pracy *Power Spectral Density estimation* (ang. "Estymacja widmowej gęstości mocy") Fernanda Schlindweina.

$$\hat{S}_{xx}(i\omega) = \frac{1}{N} |x(i\omega)|^2 = \frac{1}{N} x(i\omega) x^*(i\omega) = \frac{1}{N} \sum_{v=0}^{N-1} \sum_{\mu=0}^{N-1} x(v) x(\mu) e^{-i\omega(v+\mu)T_0}$$

- Narzędzie do wyznaczania spektrum sygnału

$$E\{\hat{S}_{xx}(i\omega)\} = \sum_{v=-(N-1)}^{N-1} w_{\text{Bartlett}}(v) R_{xx}(v) e^{-i\omega v T_0}$$

- Wartość oczekiwana jest dana jako rzeczywista gęstość widmowa spleciona z transformatą widmową okna Bartletta.
- Jest tylko asymptotycznie nieobciążony a wariancja nie zbiega do zera jak  $N \rightarrow \infty$ .



# Analiza spektralna

- Nieparametryczna odpowiedź częstotliwościowa może być wyznaczona dla sygnałów nieokresowych z:

$$G(i\omega) = \frac{y(i\omega)}{u(i\omega)} = \frac{\mathcal{F}\{y(t)\}}{\mathcal{F}\{u(t)\}} = \frac{\int_0^\infty y(t)e^{-i\omega t} dt}{\int_0^\infty u(t)e^{-i\omega t} dt}$$

- gdzie całkę można rozbić na część rzeczywistą i urojoną:

$$y(i\omega) = \lim_{T \rightarrow \infty} \left( \int_0^T y(t) \cos \omega t dt - i \int_0^T y(t) \sin \omega t dt \right)$$

- tym samym musimy wyznaczyć transformatę Fouriera dla wejścia i wyjścia

# Analiza spektralna

- Jeśli mamy do czynienia z nieokresowymi sygnałami to wtedy używamy transformaty Fouriera. I wtedy możemy użyć przekształcenia Laplace'a  $s \rightarrow i\omega$ :

$$G(i\omega) = \lim_{s \rightarrow i\omega} \frac{y(s)}{u(s)} = \lim_{s \rightarrow i\omega} \frac{\int_0^\infty y(t)e^{-st} dt}{\int_0^\infty u(t)e^{-st} dt} = \frac{y(i\omega)}{u(i\omega)}$$

- Analogicznie otrzymujemy część rzeczywistą i urojoną – i tak samo dla  $u(i\omega)$ :

$$y(i\omega) = \lim_{\substack{\delta \rightarrow 0 \\ T \rightarrow \infty}} \left( \int_0^T y(t)e^{-\delta t} \cos \omega t dt - i \int_0^T y(t)e^{-\delta t} \sin \omega t dt \right)$$

- W praktyce najczęściej operujemy odchyleniami od stanu ustalonego:

$$y(t) = Y(t) - Y_{00}$$

$$u(t) = U(t) - U_{00}$$



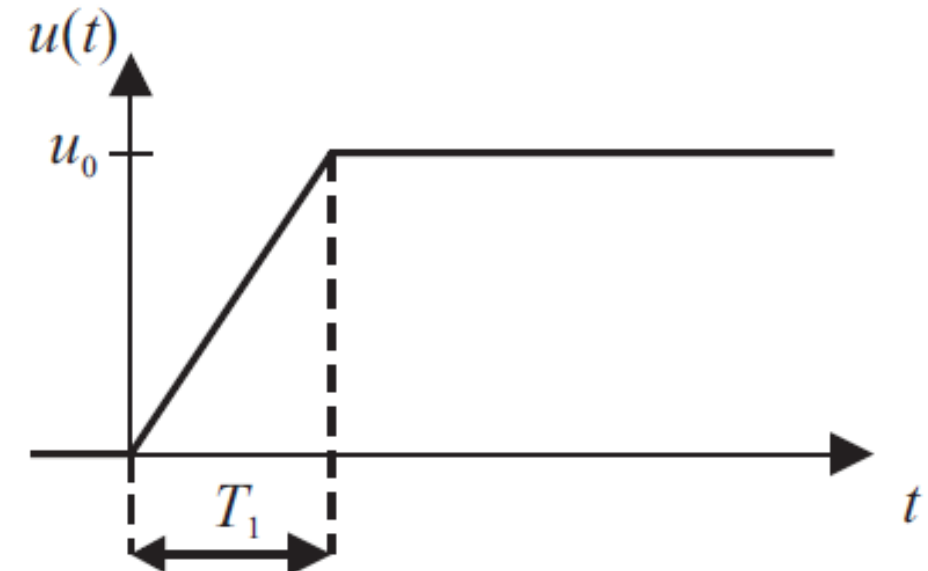
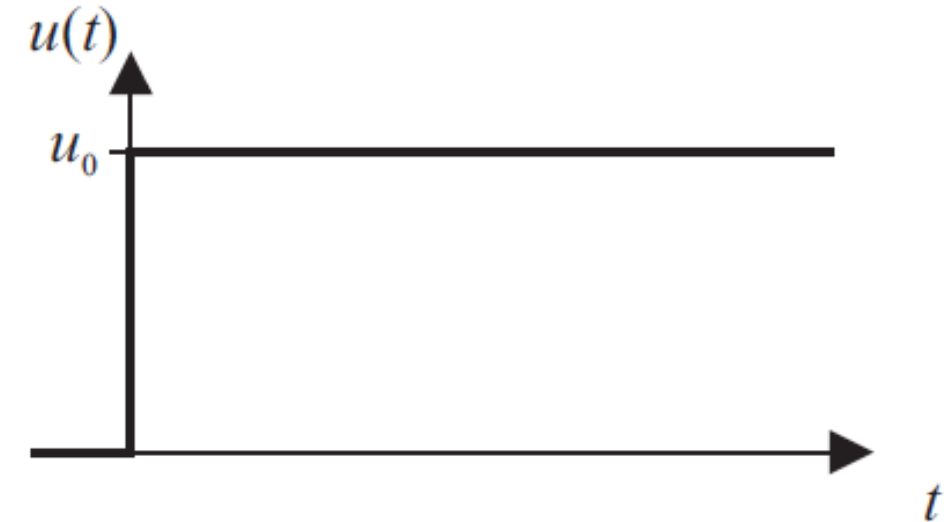
# Analiza spektralna

---

- W praktyce stosujemy predefiniowane sygnały wejściowe, dla których znamy transformaty Fouriera
- Sygnał ten dobieramy w zależności od możliwości obiektu
- Wyznaczamy wtedy transformatę Fouriera jedynie dla wyjścia  $y(t)$
- Najprostsze podejście – otrzymujemy pierwszy wgląd w model

# Transformaty Fouriera przykładowych sygnałów

- Skok jednostkowy
  - Zawsze dodatni
  - Niedostosowany do obiektów z całkowaniem
  - Nie można bezpośrednio wyznaczyć transformaty Fouriera
- „Rampa”
  - Zawsze dodatni
  - Niedostosowany do obiektów z całkowaniem
  - Nie można bezpośrednio wyznaczyć transformaty Fouriera



# Transformaty Fouriera przykładowych sygnałów

- Impuls trapezowy
  - Można wyznaczyć transformatę Fouriera, gdy  $T_1 = T_2$

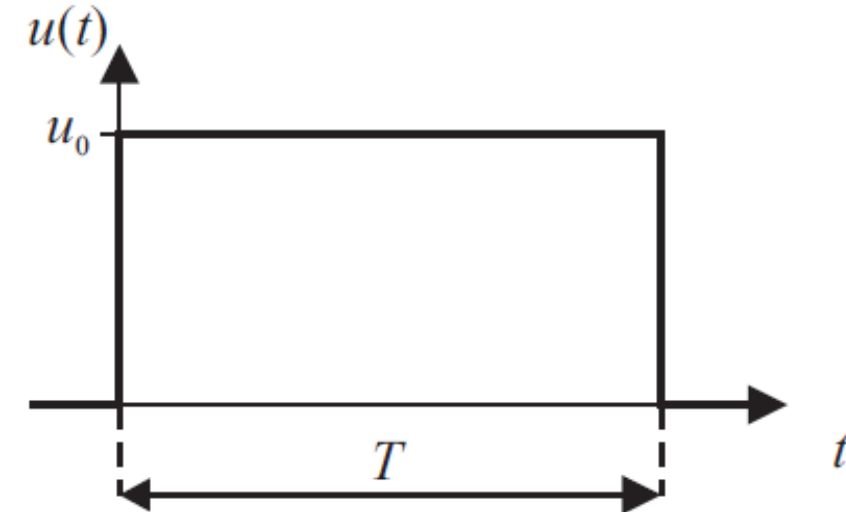
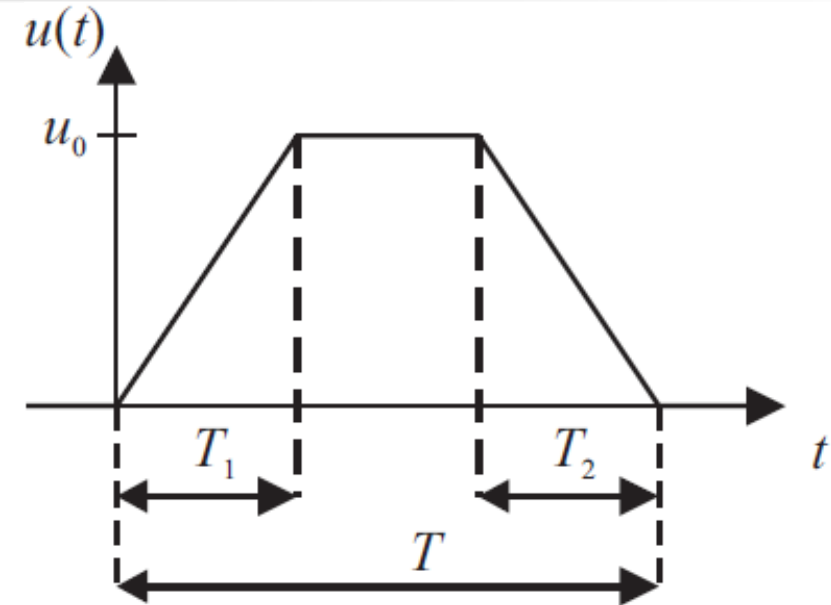
$$u_{tr}(i\omega) = u_0(T - T_1) \left( \frac{\sin \frac{\omega T_1}{2}}{\frac{\omega T_1}{2}} \right) \left( \frac{\sin \frac{\omega(T-T_1)}{2}}{\frac{\omega(T-T_1)}{2}} \right) e^{-i\frac{\omega T}{2}}$$

- Podwójny impuls prostokątny (otrzymujemy przyjmując, że  $T_1 \rightarrow 0$ )

$$u_{sq}(i\omega) = u_0 T \left( \frac{\sin \frac{\omega T}{2}}{\frac{\omega T}{2}} \right) e^{-i\frac{\omega T}{2}}$$

- Zalecenie (Pintelon i Schoukens) dla  $T$ :  
okresu  $T$

$$T = \frac{1}{2.5 f_{\max}}$$



# Transformaty Fouriera przykładowych sygnałów

- Impuls trójkątny
  - $T_1 = T_2 = T/2$

$$u_{\text{tri}}(i\omega) = u_0 \frac{T}{2} \left( \frac{\sin \frac{\omega T}{4}}{\frac{\omega T}{4}} \right)^2 e^{-i \frac{\omega T}{2}}$$





# Transformaty Fouriera przykładowych sygnałów

- Reprezentacja bezwymiarowa:

- $u^*(t) = u(t) / u_o$
- $t^* = t / T$
- $\omega^* = (\omega T) / 2\pi$

- Transformata Fouriera jest znormalizowana względem największej wartości osiągniętej przez impuls prostokątny

$$u_{sq}(i\omega)|_{\omega=0} = \int_0^T u_0 dt = u_0 T$$

- Przy takim wyborze sygnały testowe o zbliżonym kształcie, ale różnych amplitudach o długościach impulsu mają identyczny moduł  $|u^*(i\omega^*)|$  i fazę  $\angle u^*(i\omega^*)$



## Transformaty Fouriera przykładowych sygnałów

- Tym samym tylko kształt impulsu określa transformatę Fouriera

$$u_{\text{tr}}^*(i\omega^*) = (T^* - T_1^*) \left( \frac{\sin \pi \omega^* T_1^*}{\pi \omega^* T_1^*} \right) \left( \frac{\sin \pi \omega^* (T^* - T_1^*)}{\pi \omega^* (T^* - T_1^*)} \right) e^{-i\pi \omega^*}$$

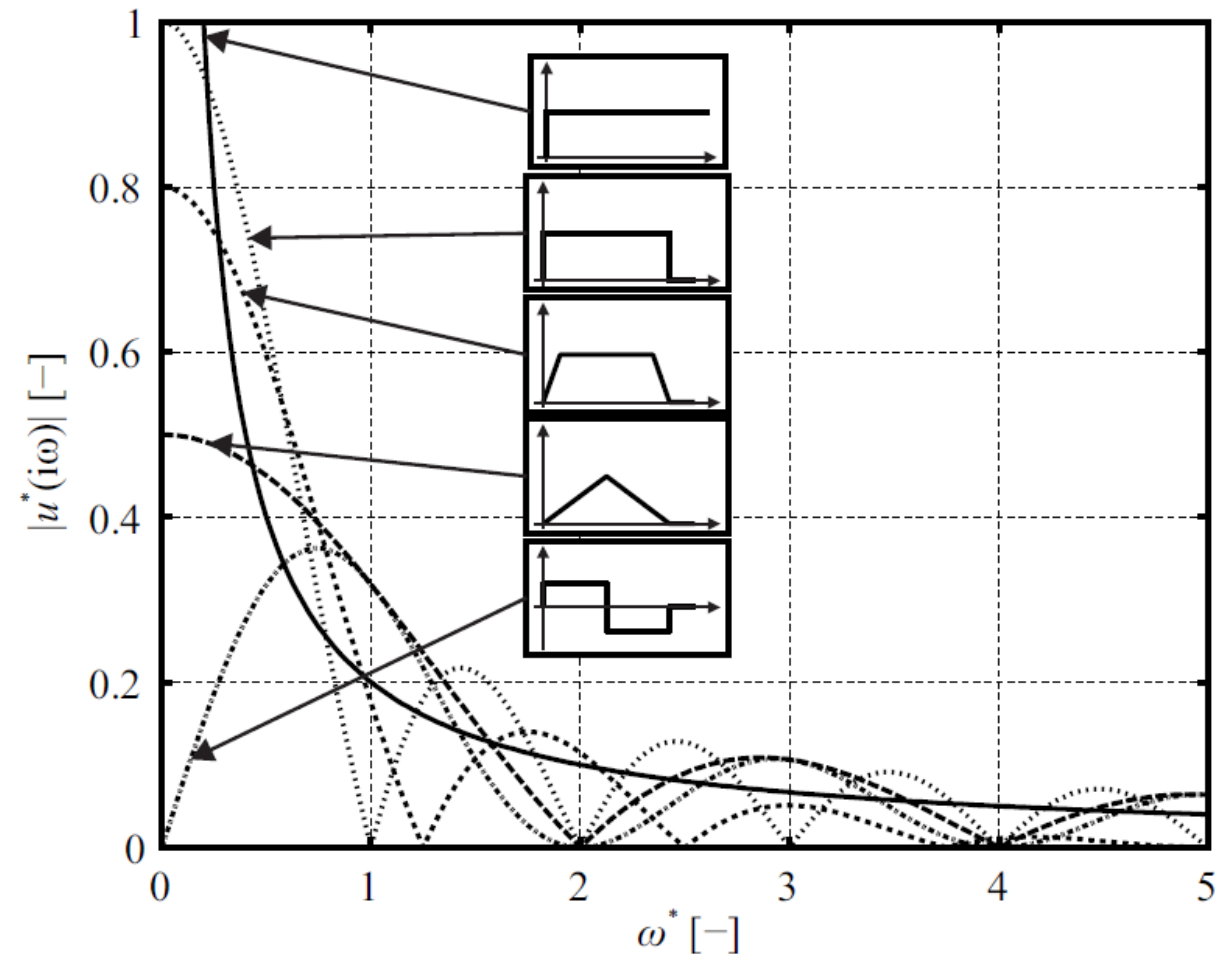
$$u_{\text{sq}}^*(i\omega^*) = \left( \frac{\sin \pi \omega^*}{\pi \omega^*} \right) e^{-i\pi \omega^*}$$

$$u_{\text{tri}}^*(i\omega^*) = \frac{1}{2} \left( \frac{\sin \frac{\pi \omega^*}{2}}{\frac{\pi \omega^*}{2}} \right)^2 e^{-i\pi \omega^*}.$$



# Transformaty Fouriera przykładowych sygnałów

- Amplitudy maleją aż do pierwszego zera wraz ze wzrostem częstotliwości
- Potem następują kolejne zera i pośrednie lokalne maksima
  - $\omega^* = n/T_1^*$  – pierwszy rząd zer trapezowy
  - $\omega^* = n/(T^* - T_1^*)$  – drugi rząd zer trapezowy
  - $\omega^* = n$  – zera prostokątny
  - $\omega^* = 2n$  – zera trójkątny
- Trapezowy i prostokątny mają pojedyncze zera i jest prostopadły do osi
- Trójkątny ma podwójne zera i jest styczny do osi



# Transformaty Fouriera przykładowych sygnałów

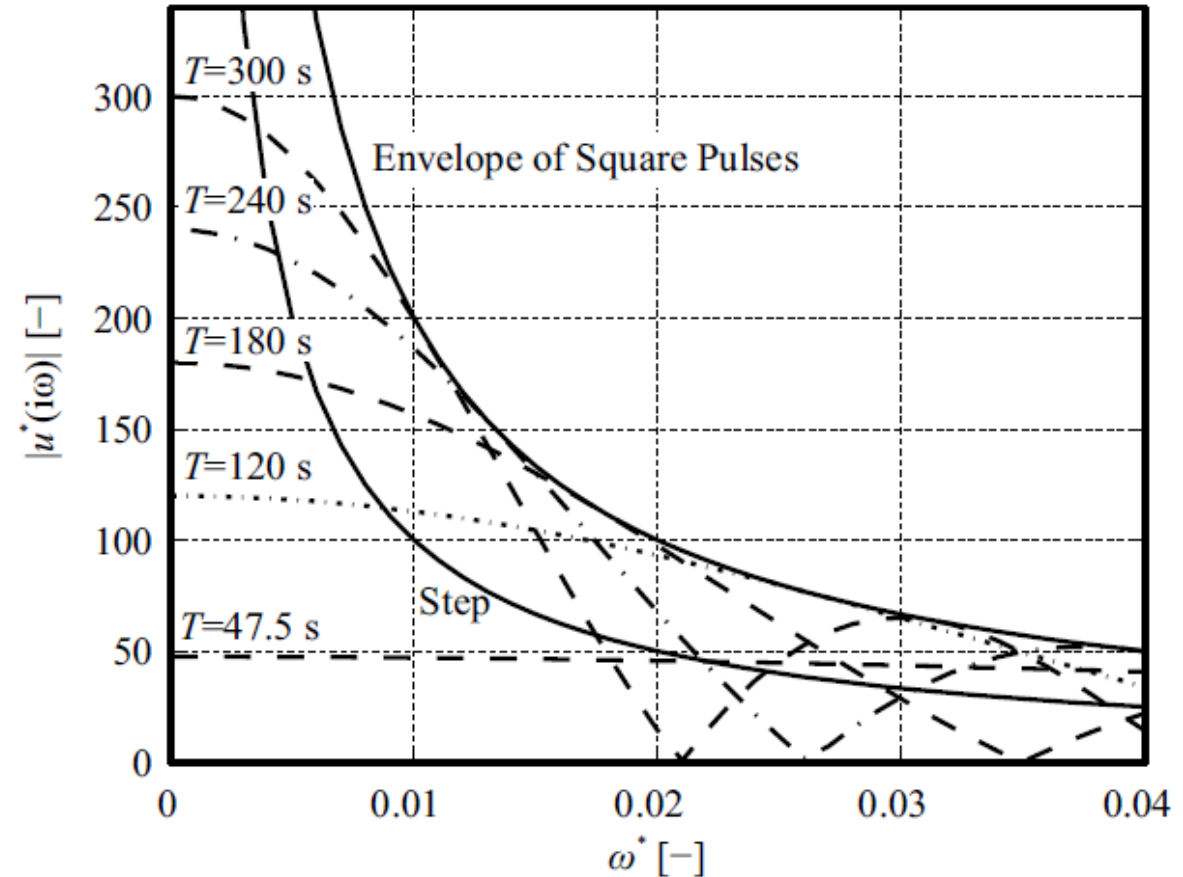
- $T \nearrow$ , rośnie moduł dla niższych częstotliwości, rośnie pole pod impulsem
- Również zanikanie staje się szybsze dla wyższych częstotliwości
- Obwiednia (*ang.* envelope) oznacza najwyższą osiąganą amplitudę dla danej częstotliwości  $\omega$ .

- impuls prostokątny

$$|u_{sq}^*(i\omega^*)|_{\max} = \frac{1}{\pi\omega^*} = \frac{0.3183}{\omega^*}$$

- impuls trójkątny

$$|u_{tri}^*(i\omega^*)|_{\max} = \frac{0.2302}{\omega^*}$$



## Transformaty Fouriera przykładowych sygnałów

- Dla niskich częstotliwości pole pod impulsem determinuje amplitudę – impuls prostokątny ma największe pole dla danego okresu  $T$ .
- Dla średnich częstotliwości obwiednia wyznacza moduł. Impuls prostokątny ma najwyższą obwiednię w okolicy  $\omega^* = 1/2$  a tym samym najwyższy moduł.
- Impuls prostokątny ma najwyższą obwiednię w całym zakresie częstotliwości  $0 \leq \omega^* \leq 1/2$
- Dla wyższych jest to tylko zjawisko miejscowe



# Transformaty Fouriera przykładowych sygnałów

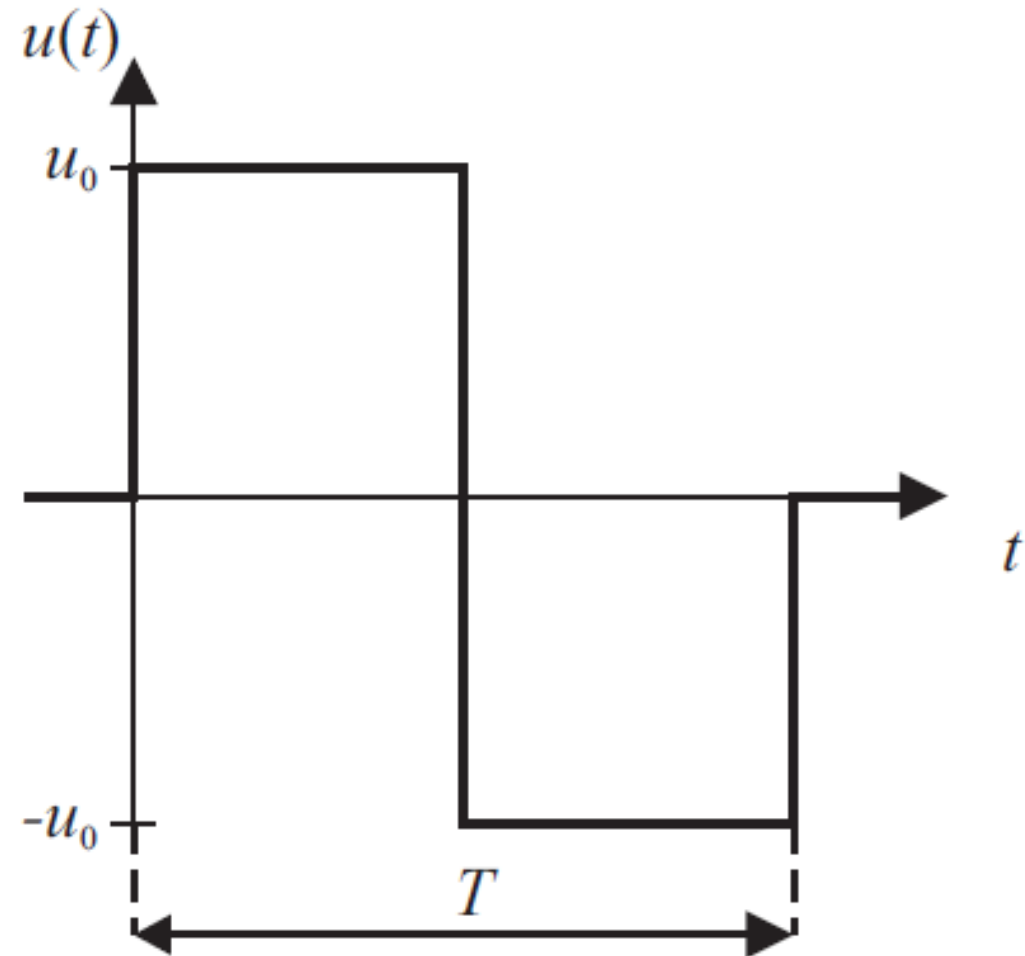
- Podwójny impuls prostokątny

$$u(i\omega) = u_0 T \left( \frac{\sin^2 \frac{\omega T}{4}}{\frac{\omega T}{4}} \right) e^{-i \frac{\omega T - \pi}{2}}$$

$$u^*(i\omega^*) = \left( \frac{\sin^2 \frac{\pi \omega^*}{2}}{\frac{\pi \omega^*}{2}} \right) e^{-i \pi \frac{2\omega^* - 1}{2}}$$

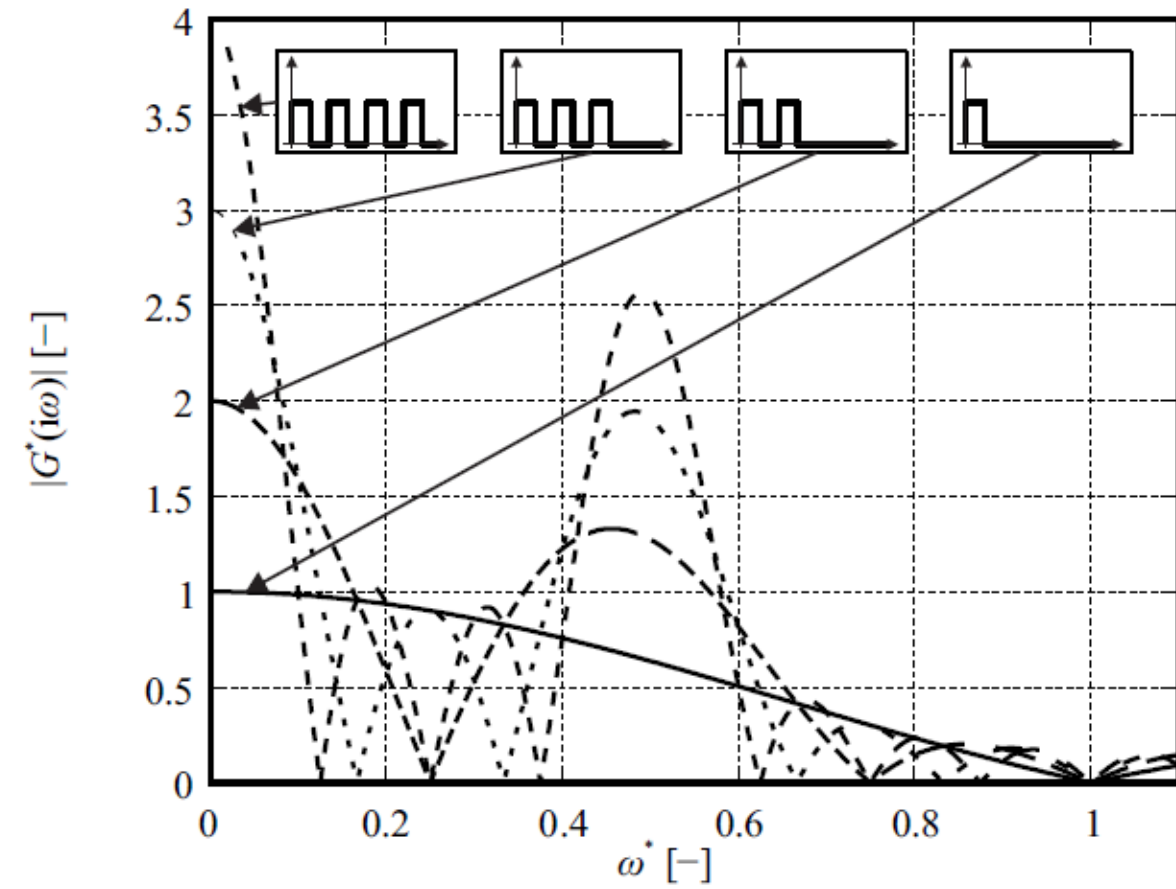
- Zera są dla  $\omega^* = 2n$
- Zera są podwójne z wyjątkiem  $n = 0$ .
- Moduł wynosi zero dla  $\omega^* = 0$
- Maksimum wynosi:

$$|u^*(i\omega^*)|_{\max} = 0.362 \text{ at } \omega^* = 0.762$$



# Transformaty Fouriera przykładowych sygnałów

- Zmiany przebiegu transformaty Fouriera dla wzrostu ilości impulsów
- Gdy otrzymamy ich nieskończoną liczbę będziemy mieli impulsy Diraca dla częstotliwości  $0, 0.5, 1.5, 2.5, \dots$



# Transformaty Fouriera przykładowych sygnałów

- Podsumowanie

- Im stromsze brzegi impulsu, tym większe wzbudzenie dla wyższych częstotliwości
- Pytanie czy można przyjąć skok zamiast „rampy”?
  - Przy akceptacji błędu  $\leq 1\%$  otrzymamy okres wzrostu rampy  $T_{1,max} \leq 1.1 / \omega_{max}$
  - Przy akceptacji błędu  $\leq 5\%$  otrzymamy okres wzrostu rampy  $T_{1,max} \leq 0.5 / \omega_{max}$
- Dla danej amplitudy impulsu  $u_o$ , najwyższa gęstość amplitudowa jest osiągnięta dla:
  - Skok jednostkowy dla niskich częstotliwości
  - Impulsy prostokątne dla średnich i wyższych częstotliwości
- Tym samym te sygnały zapewniają najmniejszy błąd identyfikacji charakterystyk częstotliwościowych dla zaszumionych wyjść
- Sygnały nieokresowe w przeciwieństwie do okresowych pobudzają jednocześnie wszystkie częstotliwości za wyjątkiem zer dla impulsów oraz *rampy*



# Wyznaczenie odpowiedzi częstotliwościowej

- Odpowiedź ma postać:

$$\hat{G}(i\omega) = \frac{y(i\omega)}{u(i\omega)} = \frac{\mathcal{F}\{y(t)\}}{\mathcal{F}\{u(t)\}}$$

- Zakładamy szum na wyjściu:

$$y(t) = y_u(t) + n(t)$$

- Po podstawieniu otrzymujemy:

$$\hat{G}(i\omega) = \frac{1}{u(i\omega)} \lim_{s \rightarrow i\omega} \left( \int_0^\infty y_u(t) e^{-st} dt + \int_0^\infty n(t) e^{-st} dt \right)$$

$$\hat{G}(i\omega) = G_0(i\omega) + \Delta G_n(i\omega)$$

- Zatem mamy złożenie odpowiedzi obiektu oraz charakterystyki szumu

$$\Delta G_n(i\omega) = \lim_{s \rightarrow i\omega} \frac{n(s)}{u(s)} = \frac{n(i\omega)}{u(i\omega)}$$

# Wyznaczenie odpowiedzi częstotliwościowej

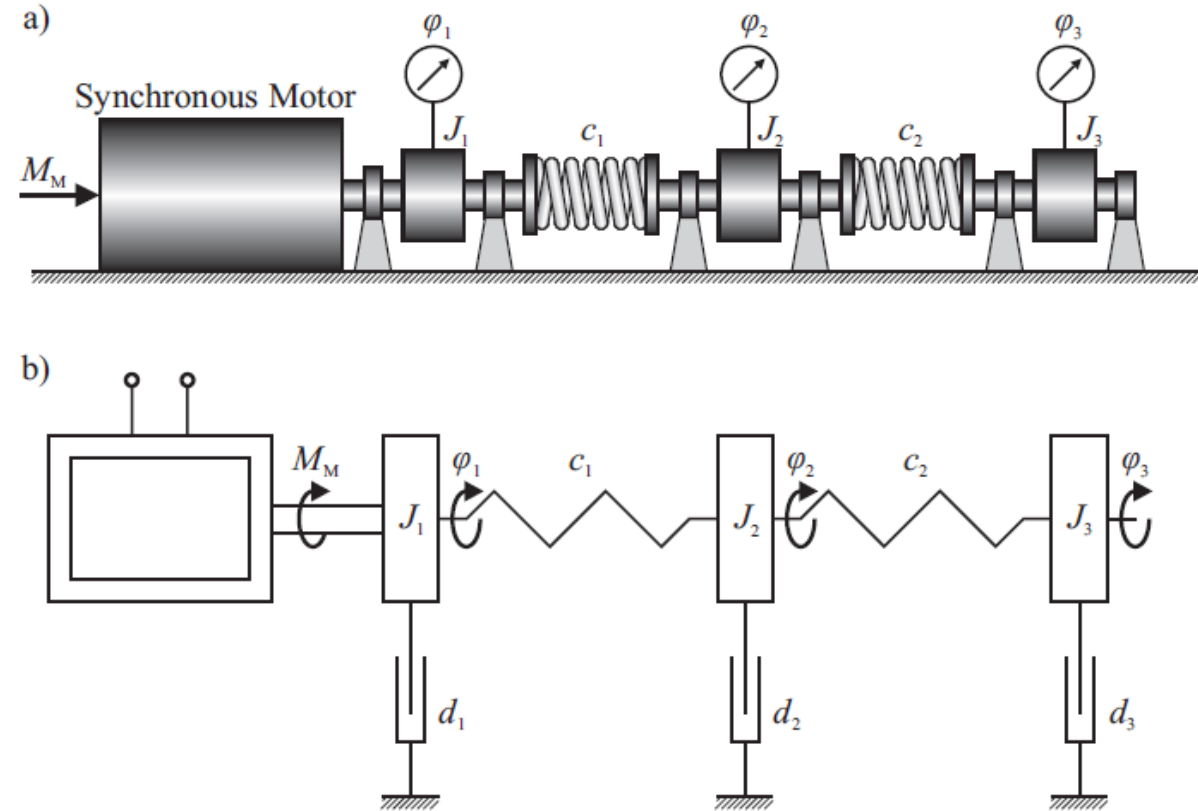
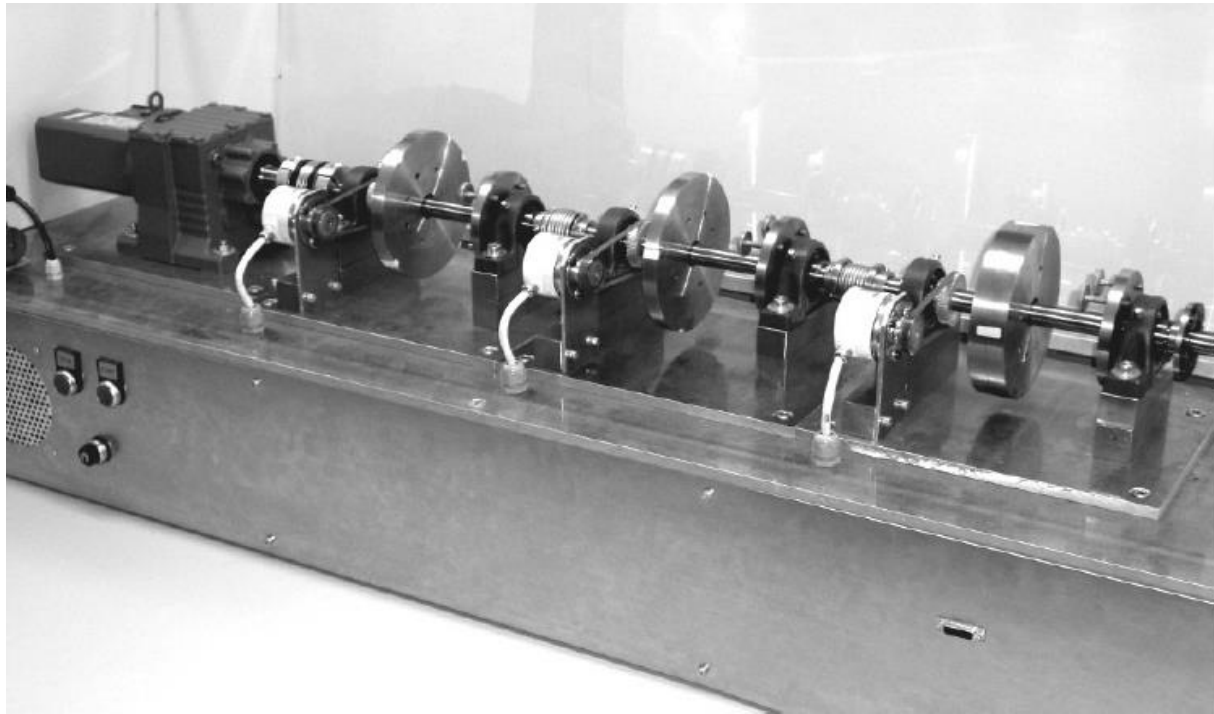
- Moduł błędu ma postać

$$|\Delta G_n(i\omega)| = \frac{|n(i\omega)|}{|u(i\omega)|}$$

- Moduł błędu (szumu) maleje wraz ze względnym wzrostem modułu wejścia nad szumem. Zatem gęstość amplitudowa musi być największa.
- Można to osiągnąć poprzez:
  - Wybór jak najwyższej amplitudy sygnału testowego (ograniczenia procesowe)
  - Dobór kształtu do określonych częstotliwości



# Przykład: oscylator trzech mas



$$J_1 \ddot{\varphi}_1 = -d_1 \dot{\varphi}_1 - c_1 \varphi_1 + c_1 \varphi_2 + M_M$$

$$J_2 \ddot{\varphi}_2 = -d_2 \dot{\varphi}_2 + c_1 \varphi_1 - (c_1 + c_2) \varphi_2 + c_2 \varphi_3$$

$$J_3 \ddot{\varphi}_3 = -d_3 \dot{\varphi}_3 + c_2 \varphi_2 - c_2 \varphi_3 .$$

## Przykład: oscylator trzech mas

- Równanie obiektu

$$J\ddot{\varphi}(t) + D\dot{\varphi}(t) + C\varphi = M M_M(t) \quad J = \begin{pmatrix} J_1 & 0 & 0 \\ 0 & J_2 & 0 \\ 0 & 0 & J_3 \end{pmatrix}, \quad D = \begin{pmatrix} d_1 & 0 & 0 \\ 0 & d_2 & 0 \\ 0 & 0 & d_3 \end{pmatrix}, \quad C = \begin{pmatrix} c_1 & -c_1 & 0 \\ -c_1 & (c_1 + c_2) & -c_2 \\ 0 & -c_2 & c_2 \end{pmatrix}$$

- Wektor stanu

$$x(t) = \begin{pmatrix} \varphi_1(t) \\ \varphi_2(t) \\ \varphi_3(t) \\ \dot{\varphi}_1(t) \\ \dot{\varphi}_2(t) \\ \dot{\varphi}_3(t) \end{pmatrix} \quad M = \begin{pmatrix} 1 \\ 0 \\ 0 \end{pmatrix}$$

- Równania stanu

$$A = \begin{pmatrix} 0 & 0 & 0 & 1 & 0 & 0 \\ 0 & 0 & 0 & 0 & 1 & 0 \\ 0 & 0 & 0 & 0 & 0 & 1 \\ -\frac{c_1}{J_1} & \frac{c_1}{J_1} & 0 & \frac{-d_1}{J_1} & 0 & 0 \\ \frac{c_1}{J_2} & \frac{-(c_1+c_2)}{J_2} & \frac{c_2}{J_2} & 0 & \frac{-d_2}{J_2} & 0 \\ 0 & \frac{c_2}{J_3} & \frac{-c_2}{J_3} & 0 & 0 & \frac{-d_3}{J_3} \end{pmatrix} \quad b = \begin{pmatrix} 0 \\ 0 \\ 0 \\ \frac{1}{J_1} \\ 0 \\ 0 \end{pmatrix} \quad c^T = (0 \ 0 \ 1 \ 0 \ 0 \ 0)$$

## Przykład: oscylator trzech mas

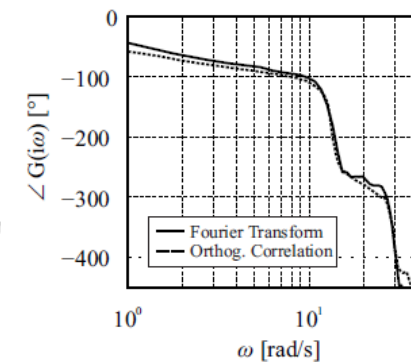
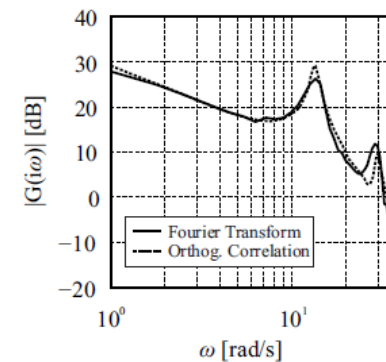
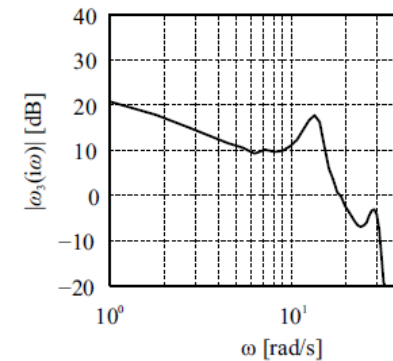
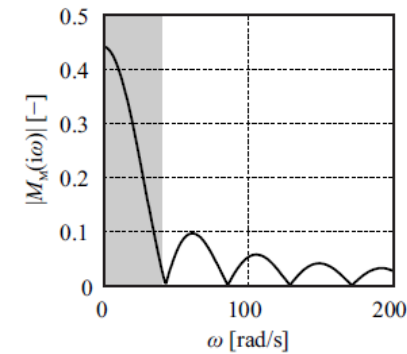
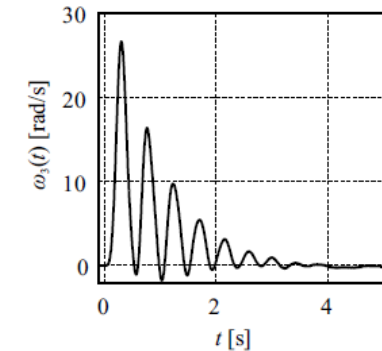
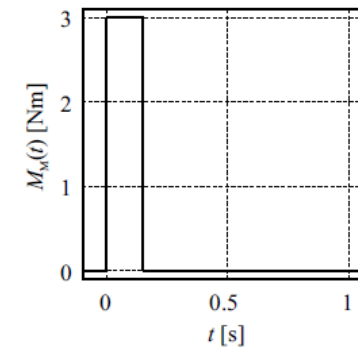
- Transmitancja

$$G(s) = \frac{\varphi_2(s)}{M_M(s)}$$

$$= \frac{c_1}{J_1 J_2 s^4 + (J_2 d_1 + J_1 d_2) s^3 + (J_2 c_1 + d_1 d_2 + J_1 c_1) s^2 + (d_2 c_1 + d_1 c_1) s}$$

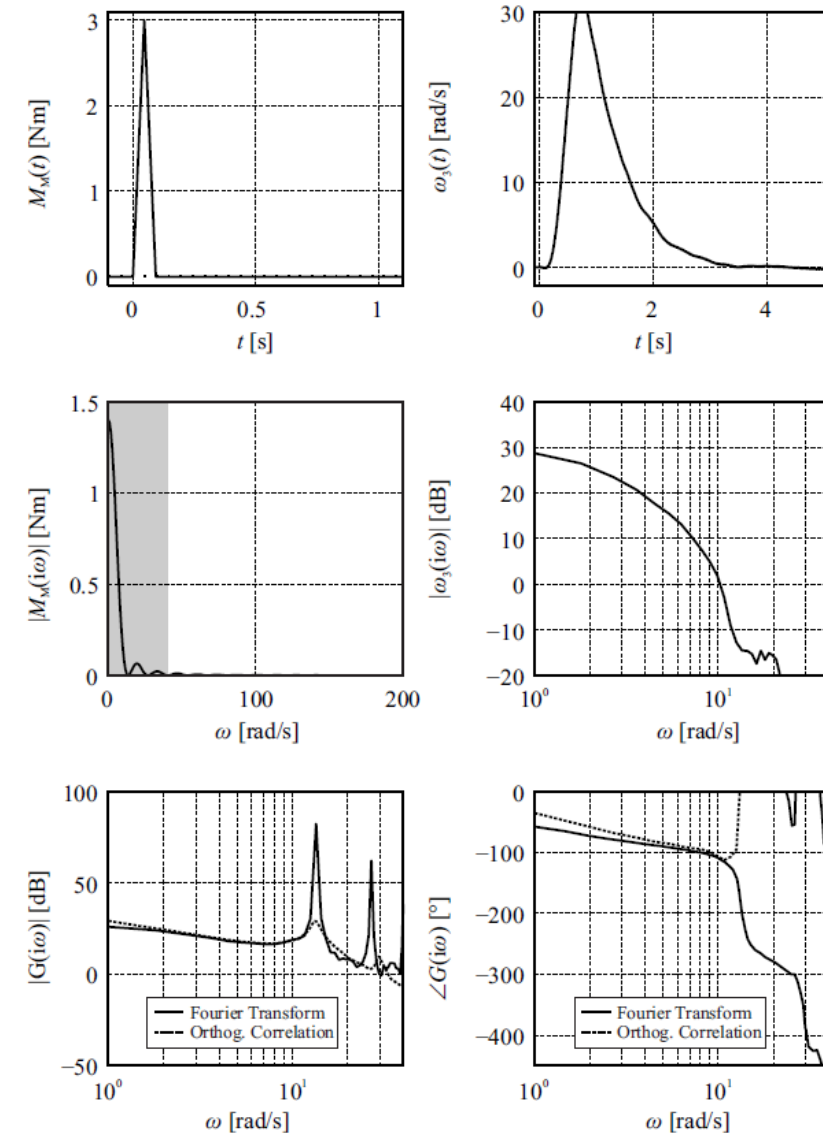
# Przykład: oscylator trzech mas

- Sygnał identyfikacyjny – impuls prostokątny o okresie  $T = 0.15$  s.
- Charakterystyka referencyjna pochodzi z metody korelacyjnej
- Dobrze dopasowanie dla częstotliwości  $\omega < 25$  [rad/s]



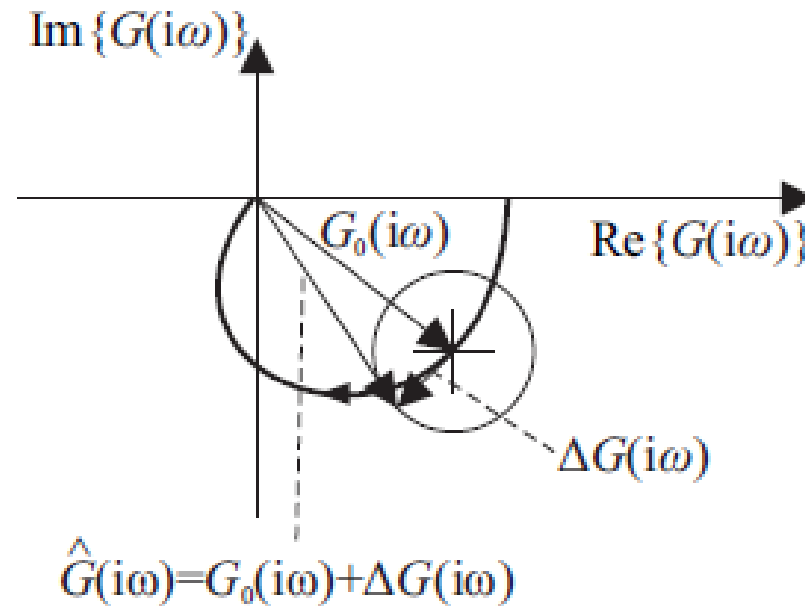
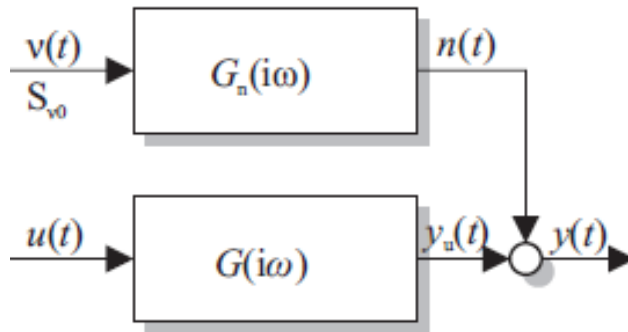
# Przykład: oscylator trzech mas

- Sygnał identyfikacyjny – impuls trójkątny o okresie  $T = 0.15$  s.
- Zero pokrywa się z częstotliwością maksimum charakterystyki
- Dobrze dopasowanie dla mniejszego zakresu częstotliwości  $\omega < 13.5$  [Hz]



# Wpływy szumów pomiarowych

- Wykorzystanie jednorazowego pobudzenia jest tylko możliwe, gdy amplituda szumu jest znacznie mniejsza od impulsu oraz gdy średnia szumu jest równa zero.
- W przypadku znaczących niestacjonarnych szumów użycie powyższych metod może być w zasadzie niemożliwe.
- Zakładamy szum:



$$\Delta G_n(i\omega) = \frac{n_T(i\omega)}{u(i\omega)}$$

$$|\Delta G_n(i\omega)| = \frac{|n_T(i\omega)|}{|u(i\omega)|}$$



# Wpływy szumów pomiarowych

- W wyniku przekształceń otrzymamy wniosek, że
  - błąd odpowiedzi częstotliwościowej jest odwrotnie proporcjonalny do stosunku sygnał-szum
  - błąd odpowiedzi częstotliwościowej jest odwrotnie proporcjonalny do pierwiastka z ilości wykorzystywanych odpowiedzi
- Tym samym w celu zmniejszenia wpływu szumu powinniśmy wyznaczyć wiele odpowiedzi na ten sam sygnał i wyznaczyć odpowiedź średnią:

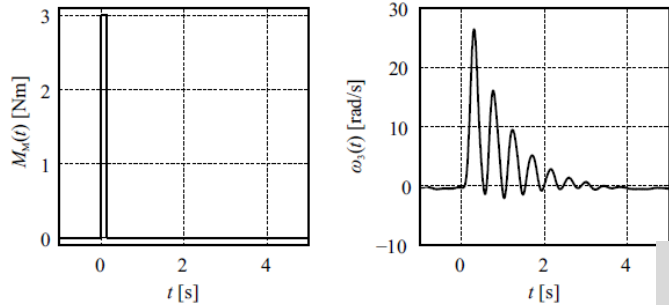
$$\bar{y}(t) = \frac{1}{N} \sum_{k=0}^{N-1} y_k(t)$$

- Dla różnych pobudzeń powinniśmy wziąć średnią charakterystykę (uśredniając po części rzeczywistej i urojonej a nie po module i fazie)

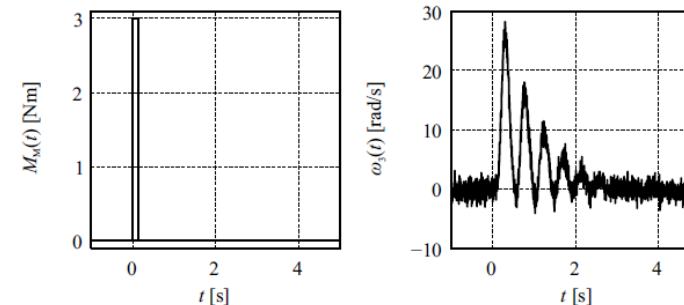
$$\bar{G}(i\omega) = \frac{1}{N} \sum_{k=1}^N G_k(i\omega) = \frac{1}{N} \sum_{k=1}^N \operatorname{Re}\{G_k(i\omega)\} + i \frac{1}{N} \sum_{k=1}^N \operatorname{Im}\{G_k(i\omega)\}$$

# Przykład: oscylator trzech mas

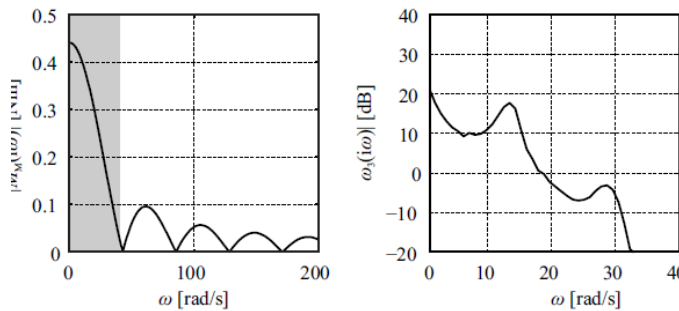
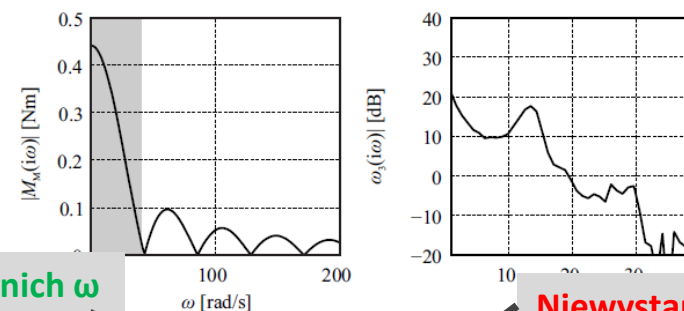
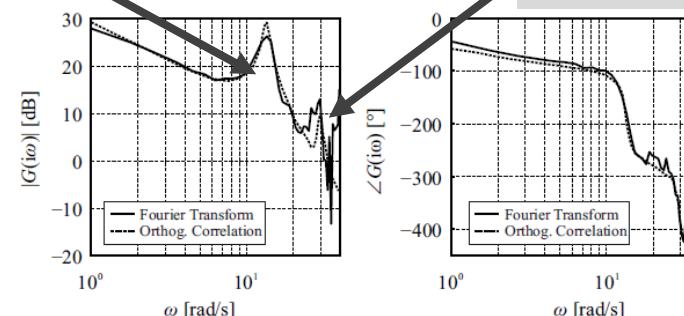
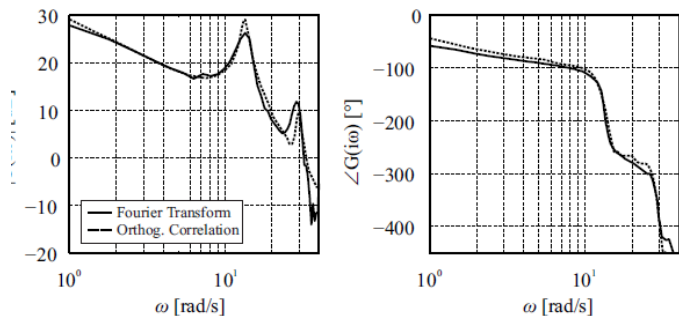
- Stosunek szum do sygnału wynosi:  $\eta = \frac{\sigma_n}{y_{\max}} \approx 4\% \hat{=} 1 : 25$



Bez szumu

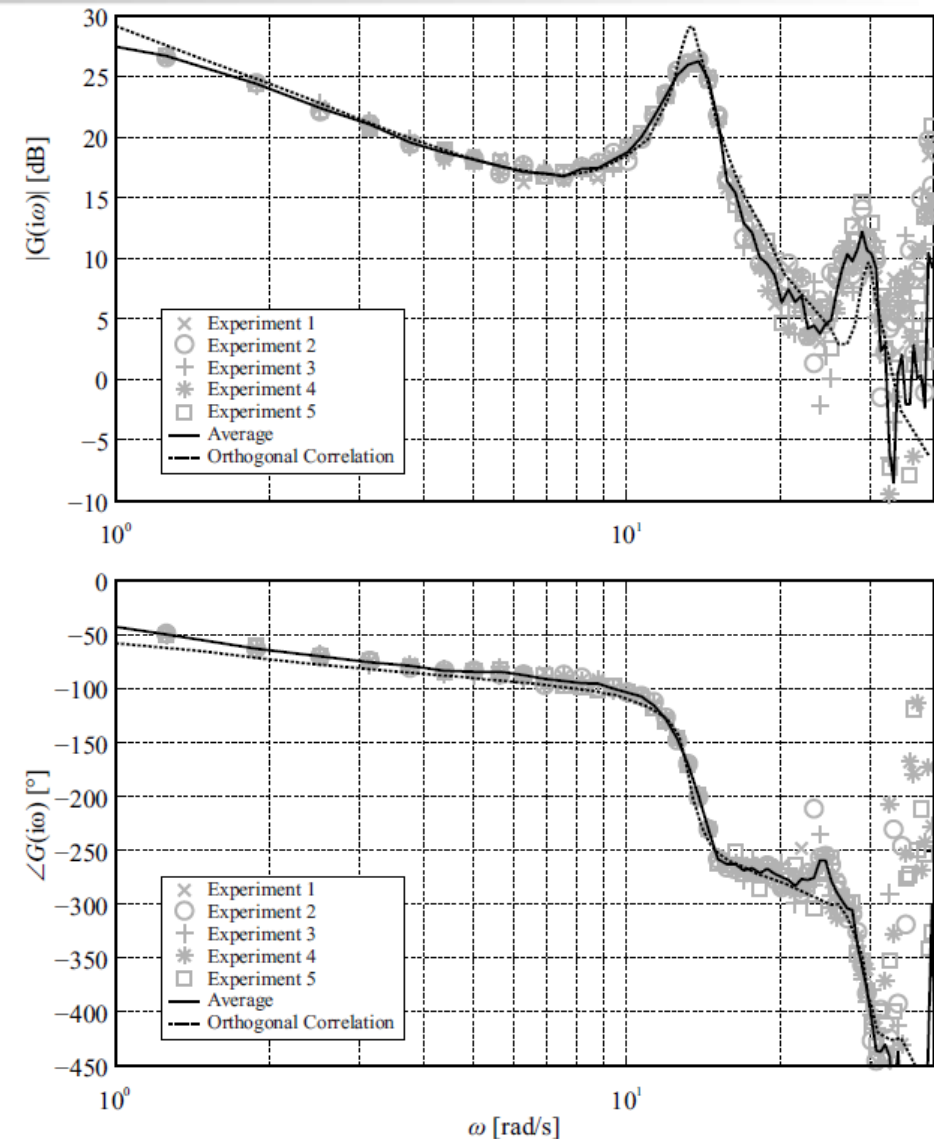


Z szumem

Całkiem nieźle w zakresie średnich  $\omega$ Niewystarczające dla wyższych  $\omega$ 

# Przykład: oscylator trzech mas

- Uśrednienie wielu eksperymentów
  - Linia ciągła: uśrednienie z pięciu eksperymentów
  - Linia przerywana: rzeczywisty pomiar metoda korelacyjną
- **Wariancja nie zanika dla  $N \rightarrow \infty$**



## Podsumowanie

- Istotny jest rodzaj okienkowania oraz wyboru sygnału testowego
- Określenie *preferowany sygnał* oznacza taki, który posiada najwyższą gęstość amplitudową w określonym zakresie częstotliwości
- Takie sygnały zapewniają najmniejszy błąd odtworzenia ch-ki częstotliwościowej w danym zakresie  $\omega$
- Dla niskich częstotliwości najlepszy jest skok jednostkowy a impuls prostokątny dla  $\omega$  średnich
- Wymagana amplituda dla sygnału zaszumionego wynosi:

$$|u(i\omega)|_{\text{req}} = \frac{\sqrt{S_{nn}(i\omega)T_E}}{|G(i\omega)|\sigma_G(i\omega)\sqrt{N}}$$

- Niestety musimy znać proces



# Podsumowanie

- Z punktu widzenia układów sterowania najistotniejsze są średnie częstotliwości
- Dobrze jest stosować różne sygnały:
  - Sekwencje skoków jednostkowych do odwzorowania niskich częstotliwości
  - Sekwencje impulsów prostokątnych dla niskich i średnich częstotliwości
  - 20%-30% czasu dla testów skokowych i 80%-70% czasu dla impulsów prostokątnych
  - Dobór długości impulsu prostokątnego zależy od najwyższej częstotliwości do odwzorowania
$$T = \pi/\omega_{max}$$
  - Dla uwzględnienia potencjalnych nieliniowości sugeruje się stosowanie skoków w obu kierunkach
- W sytuacji wielokrotnego pobudzenia tym samym sygnałem można uśrednić odpowiedź w dziedzinie czasu i wtedy wyznaczyć charakterystykę
- W przypadku różnych sygnałów wyznaczamy oddzielnie charakterystyki dla poszczególnych eksperymentów i dopiero potem wyznaczamy uśrednione charakterystyki częstotliwościowe

